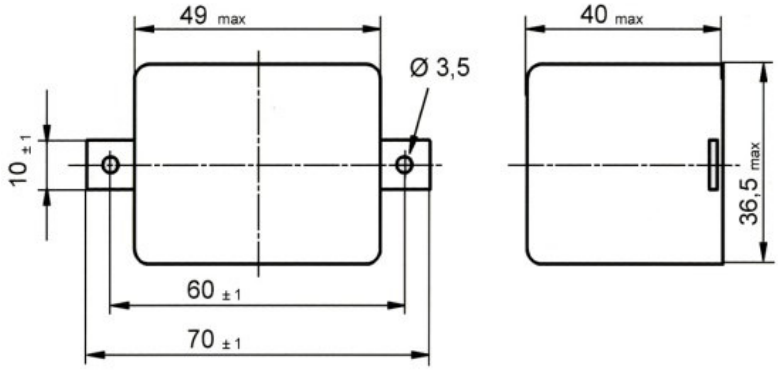


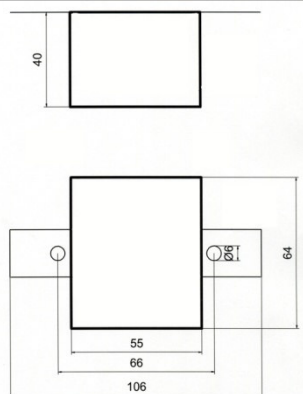
Bauform / Type 43.19

Glimmerkondensator / Mica capacitor

Internet: www.jahre.de

Email: info@jahre.de

Bauform / Type	Abmessungen / Dimensions
43.19	
Kapazität in pF / Betriebsspannung / Capacity in pF / Voltage	
Spannung / Voltage 500 VDC	Spannung / Voltage 1000 VDC
0,6 µF	0,6 µF
0,8 µF	0,8 µF
1,0 µF	1,0 µF

Bauform / Type	Abmessungen / Dimensions
43.19	
Kapazität in pF / Betriebsspannung / Capacity in pF / Voltage	
Spannung / Voltage 500 VDC	Spannung / Voltage 1000 VDC
1,2 µF	1,2 µF
1,4 µF	1,4 µF
1,6 µF	1,6 µF
1,8 µF	1,8 µF
2,0 µF	2,0 µF
2,2 µF	

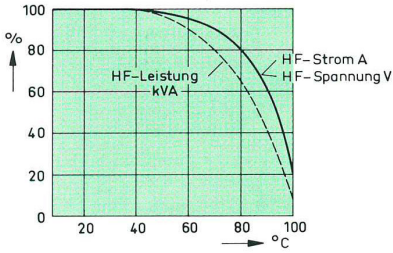
Kapazitätstoleranz / Capacity tolerance	in % ±5 ±2 ±1 ±0,5
---	--------------------------------

Bauform / Type 43.19

Glimmerkondensator / Mica capacitor

Internet: www.jahre.de

Email: info@jahre.de

Meßfrequenz Measuring frequency	$C \leq 1000 \text{ pF}$ bei 1 MHz $C \leq 1000 \text{ pF}$ at 1 MHz		$C > 1000 \text{ pF}$ bei 1 kHz $C > 1000 \text{ pF}$ at 1 kHz																
Verlustfaktor Dissipation factor	C_N in pF	f		$\tan \delta$															
	100 ... 1000	1 MHz		$\leq 1 \times 10^{-3}$															
	> 1000 ... 10000	10 kHz		$\leq 1 \times 10^{-3}$															
	> 10000 ... 100000	10 kHz		$\leq 0,5 \times 10^{-3}$															
	> 100000	1 kHz		$\leq 0,5 \times 10^{-3}$															
Nenngleichspannung U_N Zulässige Wechselspannung U_{eff} Rated d. c. voltage U_R Permitted a. c. voltage U_{rms}	V	500		1000/1500/2000/3000															
	V/50 Hz	350		500															
*) Summe aus Gleichspannung und Scheitelwert der überlagerten Wechselspannung darf U_N nicht überschreiten. Sum of d. c. voltage and superimposed peak a. c. voltage shall not exceed U_R .																			
Prüfspannung U_P Voltage proof U_P	3 U_N für 500 V 3 U_R for 500 V		2 U_N für $\geq 1000 \text{ V}$ 2 U_R für $\geq 1000 \text{ V}$	3 s 3 s															
	<table border="1"> <thead> <tr> <th colspan="4">Widerstandsarme Kontaktierung Termination of low resistance</th> </tr> <tr> <th>Bf./Type</th> <th>kVA</th> <th>A</th> <th>$V_{\text{eff}}/V_{\text{rms}}$</th> </tr> </thead> <tbody> <tr> <td>43.19</td> <td>1</td> <td>10</td> <td>150</td> </tr> </tbody> </table>				Widerstandsarme Kontaktierung Termination of low resistance				Bf./Type	kVA	A	$V_{\text{eff}}/V_{\text{rms}}$	43.19	1	10	150			
Widerstandsarme Kontaktierung Termination of low resistance																			
Bf./Type	kVA	A	$V_{\text{eff}}/V_{\text{rms}}$																
43.19	1	10	150																
HF-Dauergrenzbelastung bei 1 MHz HF-limited load at 1 MHz	<p>Die Belastbarkeit ist durch den jeweils niedrigsten Tabellenwert je Bauform begrenzt. The load is limited by the smallest value ever tabled for each style.</p>  <p>Darstellung der zulässigen HF-Belastung in Abhängigkeit von der Umgebungstemperatur. HF-load versus environmental temperature. Derating.</p>																		
	<table border="1"> <thead> <tr> <th>Code</th> <th>TK $10^{-6}/^{\circ}\text{C}$ TC $10^{-6}/^{\circ}\text{C}$</th> <th>Kapazitätsdrift Capacitance drift</th> </tr> </thead> <tbody> <tr> <td>D</td> <td>- 100 ... + 100</td> <td>$\pm 0,3 \%$</td> </tr> <tr> <td>E</td> <td>- 20 ... + 100</td> <td>$\pm 0,1 \%$ + 0,1 pF</td> </tr> <tr> <td>F</td> <td>0 ... + 70</td> <td>$\pm 0,05 \%$ + 0,1 pF</td> </tr> <tr> <td>G</td> <td>- 20 ... + 50</td> <td>$\pm 0,05 \%$ + 0,1 pF</td> </tr> </tbody> </table>				Code	TK $10^{-6}/^{\circ}\text{C}$ TC $10^{-6}/^{\circ}\text{C}$	Kapazitätsdrift Capacitance drift	D	- 100 ... + 100	$\pm 0,3 \%$	E	- 20 ... + 100	$\pm 0,1 \%$ + 0,1 pF	F	0 ... + 70	$\pm 0,05 \%$ + 0,1 pF	G	- 20 ... + 50	$\pm 0,05 \%$ + 0,1 pF
Code	TK $10^{-6}/^{\circ}\text{C}$ TC $10^{-6}/^{\circ}\text{C}$	Kapazitätsdrift Capacitance drift																	
D	- 100 ... + 100	$\pm 0,3 \%$																	
E	- 20 ... + 100	$\pm 0,1 \%$ + 0,1 pF																	
F	0 ... + 70	$\pm 0,05 \%$ + 0,1 pF																	
G	- 20 ... + 50	$\pm 0,05 \%$ + 0,1 pF																	
Isolationswiderstand Insulation resistance	$C \leq 50000 \text{ pF} = 100 \text{ G}\Omega$ bei 20 °C mit 100 V nach 1 Minute $C > 50000 \text{ pF} = 5000 \text{ s}$ at 20 °C with 100 V after 1 minute																		
Eigeninduktivität Self inductance	$\approx 10 \text{ nH}$ gemessen bei 1 mm Anschlußlänge $\approx 10 \text{ nH}$ measured at 1 mm terminal																		
Temperaturkoeffizient Temperature coefficient	<table border="1"> <thead> <tr> <th>Code</th> <th>TK $10^{-6}/^{\circ}\text{C}$ TC $10^{-6}/^{\circ}\text{C}$</th> <th>Kapazitätsdrift Capacitance drift</th> </tr> </thead> <tbody> <tr> <td>D</td> <td>- 100 ... + 100</td> <td>$\pm 0,3 \%$</td> </tr> <tr> <td>E</td> <td>- 20 ... + 100</td> <td>$\pm 0,1 \%$ + 0,1 pF</td> </tr> <tr> <td>F</td> <td>0 ... + 70</td> <td>$\pm 0,05 \%$ + 0,1 pF</td> </tr> <tr> <td>G</td> <td>- 20 ... + 50</td> <td>$\pm 0,05 \%$ + 0,1 pF</td> </tr> </tbody> </table>				Code	TK $10^{-6}/^{\circ}\text{C}$ TC $10^{-6}/^{\circ}\text{C}$	Kapazitätsdrift Capacitance drift	D	- 100 ... + 100	$\pm 0,3 \%$	E	- 20 ... + 100	$\pm 0,1 \%$ + 0,1 pF	F	0 ... + 70	$\pm 0,05 \%$ + 0,1 pF	G	- 20 ... + 50	$\pm 0,05 \%$ + 0,1 pF
	Code	TK $10^{-6}/^{\circ}\text{C}$ TC $10^{-6}/^{\circ}\text{C}$	Kapazitätsdrift Capacitance drift																
D	- 100 ... + 100	$\pm 0,3 \%$																	
E	- 20 ... + 100	$\pm 0,1 \%$ + 0,1 pF																	
F	0 ... + 70	$\pm 0,05 \%$ + 0,1 pF																	
G	- 20 ... + 50	$\pm 0,05 \%$ + 0,1 pF																	
Betriebstemperaturbereich Operating temperature range	- 40 °C ... + 100 °C																		
Klimaklasse Climatic category	<table border="1"> <thead> <tr> <th>DIN 40040</th> <th>G</th> <th>M</th> <th>D</th> </tr> </thead> <tbody> <tr> <td>IEC 68</td> <td>040</td> <td>100</td> <td>021</td> </tr> </tbody> </table>				DIN 40040	G	M	D	IEC 68	040	100	021							
DIN 40040	G	M	D																
IEC 68	040	100	021																
Zeitliche Kapazitätsänderung Capacitance drift	$\leq 0,1 \%$ nach 1 Jahr Betrieb $\leq 0,1 \%$ after 1 year operation																		